

مقارنة بين الطرائق الاعتيادية (LS,4SIV) والطرائق الحصينة

ARX(1,1,1) لتقدير معلمات أنموذج 2SWLS,LTS,RA)

للأحمال الكهربائية

أ.م.د فراس احمد محمد / كلية الادارة والاقتصاد / جامعة بغداد

الباحث / زينب حامد حميد /

تاریخ التقديم: 2018/5/9

تاریخ القبول: 2018/6/24

المستخلص

تعاني نماذج السلاسل الزمنية في اغلب الاحيان من مشكلة وجود القيم الشاذة التي ترافق عملية جمع البيانات ولأسباب عديدة والتي قد يسبب وجودها تأثيراً كبيراً على تقدير معلمات الأنماذج المدروسة، حيث ان الحصول على مقدرات تمتلك كفاءة عالية يعتبر من اهم مراحل التحليل الاحصائي، وعليه يجب الاهتمام باختيار الطرائق المناسبة للحصول على مقدرات جيدة. وان الهدف من هذا البحث هو اجراء المقارنة بين المقدرات الاعتيادية والمقدرات الحصينة لتقدير معلمات أنموذج الانحدار الذاتي بوجود متغير خارجي (ARX) ذات الرتبة (1,1,1) باستعمال بيانات حقيقة تحتوي على القيم الشاذة حيث تم استعمال الرتبة (1,1,1) اعتناداً على عدد من معايير تحديد الرتبة والتي تم توضيحها ضمن الرسالة قيد الانشاء، وقد تبين لنا من خلال الدراسة ان الطريقة التي تم توظيفها وهي طريقة المربعات الصغرى المشذبة (LTS) هي افضل طريقة لتقدير، حيث تمت عملية المقارنة باستعمال الجذر التربيعي لمتوسط مربعات الخطأ (RMSE) و متوسط مطلق الخطأ النسبي (MAPE) ونسبة الخطأ المتوقعة (EEP)، كما تم اجراء اختبار للتأكد من دقة الأنماذج الذي تم التوصل اليه وبعدها تم استعماله للتنبؤ بالقيم المستقبلية.

المصطلحات الرئيسية للبحث/أنموذج الانحدار الذاتي بوجود متغير خارجي (ARX)، الكشف عن القيم الشاذة، طريقة المربعات الصغرى الاعتيادية (OLS)، طريقة المتغيرات المساعدة ذات الخطوات الاربعة (4SIV)، طريقة المربعات الصغرى الموزونة ذات المرحلتين (2SWLS)، طريقة المربعات الصغرى المشذبة (LTS)، مقدرات التباينات الذاتية للبواقي (RA).





المبحث الأول / المقدمة وهدف البحث:

بعد موضوع تحليل السلاسل الزمنية من المواضيع الاحصائية المهمة والتي تُعتمد لتفسير الكثير من الظواهر الحياتية المهمة المرتبطة بالفترات الزمنية ولاسيما تلك التي تكون فتراتها متساوية (يومية، شهرية، فصلية، سنوية)، وقد شملت مجالات واسعة اقتصادية وطبية وبيئية وغيرها، ويعتبر أنموذج السلسلة الزمنية بأنه الدالة التي تربط القيم الحالية للمتغير بالقيم السابقة له وبالخطاء وبالإضافة إلى ذلك بقيم سلسلة زمنية أخرى.

يتم بناءً أنموذج السلسلة الزمنية من خلال عدد من المراحل تبدأ أولاً بمرحلة تهيئ البيانات ومن ثم تحديد الرتبة لأنموذج ومن ثم تقدير معلماته بعدها يتم اختبار دقة الأنماذج وأخيراً مرحلة التنبؤ بالقيم المستقبلية، وتعد مرحلة التقدير (Estimation) أحد المراحل المهمة في بناءً أنموذج السلسلة الزمنية ومن أكثر الطرائق المستعملة في تقدير معلمات نماذج السلسلة الزمنية هي الطرائق الاعتيادية ومنها طريقة المرربعات الصغرى (LS) وطريقة الامكان الاعظم (ML) وغيرها، وإن مقدرات هذه الطرائق قد تكون كفؤة ومناسبة في حالة توفر شروط السلسلة الزمنية ، ولكن عند اختلاف الشروط نتيجة عامل خارجي يطرأ على السلسلة الزمنية فإنه من الضروري البحث عن طرائق تقدير أخرى تستطيع التعامل مع السلسلة الزمنية التي لا توفر فيها الشروط المطلوبة وهذه الطرائق تعرف بالطرائق الحصينة، فمن المعروف أن طرائق التقدير الاعتيادية تكون حساسة لوجود القيم الشاذة (Outliers) في البيانات.

يهدف هذا البحث إلى بناءً أنموذج لأعمال الفروة الكهربائية بالاعتماد على متغير خارجي متمثل بدرجات الحرارة العظمى من خلال فترات البيانات التي تحتوي على قيمًا شاذة ومن ثم المقارنة بين مختلف طرائق التقدير الاعتيادية والuschine لانموذج بالاعتماد على مجموعة من مقاييس المقارنة واستعمال الطريقة الأفضل التي يتم التوصل إليها للتنبؤ بالقيم المستقبلية لأعمال الكهربائية.

المبحث الثاني / الجانب النظري

1- أنموذج الانحدار الذاتي بوجود متغير خارجي (ARX):

(Autoregressive With Exogenous Input Model)

عبارة عن أنموذج انحدار ذاتي (AR) (القيم السابقة للمخرج) مع متغير خارجي (متغير آخر غير المخرج) أو هو عبارة عن أنموذج يتضمن نظام من المدخلات والتي تتتألف من المتغير المؤثر (u_t) مع مجموعة من ارتدادات هذا المتغير فضلاً عن بعض ارتدادات المتغير التابع أو متغير الاستجابة (y_t) ومخرج يمثل المتغير المعتمد (y_t)، ويمكن صياغة الصيغة العامة لهذا الأنماذج من خلال معادلة الفرق الخطية التالية:[II:pp.81][III:pp.219-220]

$$y_t = -a_1 y_{t-1} - \cdots - a_{n_a} y_{t-n_a} + b_1 u_{t-n_k} + \cdots + b_{n_b} u_{t-n_k-n_b+1} + e_t \quad \dots \quad (1)$$

حيث ان :

y_t يمثل مخرج الأنماذج او المتغير المعتمد .

u_t يمثل مدخل الأنماذج او المتغير التوضيحي .

e_t يمثل حد الخطأ .

t يمثل مؤشر الزمن .

n_a تمثل رتبة الانحدار الذاتي (AR) من الانماذج (عدد معلمات متعدد الحدود (A)(q)) .



n_b تمثل رتبة المدخل (u_t) وارتداداته في الانموذج (عدد معلمات متعدد الحدود (B)(q)).

n_k يمثل تأخير المخرج (y_t) بالنسبة إلى المدخل (u_t).
ويمكن كتابة أنموذج ARX بشكل عام (أنموذج انحدار) وكما يأتي :

$$y_t = \varphi_t^T \theta + e_t$$

حيث ان

$$\varphi_t = [-y_{t-1} \cdots -y_{t-n_a} u_{t-n_k} \cdots u_{t-n_k-n_b+1}]^T$$

$$\theta = [a_1 \cdots a_{n_a} b_1 \cdots b_{n_b}]^T$$

اذ ان

φ_t يمثل متوجه القياسات (عناصر الانحدار) بالبعد $1 \times (n_a + n_b)$.

θ يمثل متوجه المعلمات بالبعد $(n_a + n_b) \times 1$.

2- القيم الشاذة للسلسة الزمنية: (Time Series Outliers)

قد تتأثر مشاهدات السلسلة الزمنية في بعض الأحيان بأحداث غير عادية، أو اضطرابات، أو الأخطاء التي تُنتج تأثيرات زائفة في السلسلة وتشتت أنماط استثنائية في المشاهدات والتي لا تتفق مع معظم المشاهدات في السلسلة الزمنية. ويطلق على هذه المشاهدات الغير عادية اسم القيم الشاذة. وقد تكون نتيجة أحداث خارجية غير عادية مثل الإضرابات، والحروب والازمات الاقتصادية المفاجئة وموحات الحرارة او البرد غير المتوقعة، او بسبب اخطاء الكتابة والتسجيل التي لا يمكن ملاحظتها. وان اول من درس الكشف عن القيم الشاذة في السلسلات الزمنية هو الباحث (Fox) في عام (1972) حيث قدم نوعين من القيم الشاذة هما:

[IV:pp.536][V:pp.223-228]

القيم الشاذة المضافة (Additive Outliers): ويقصد بها القيم التي تؤثر في مشاهدة واحدة فقط وليس لها تأثير على بقية المشاهدات بحيث ان السلسلة بعدها تعود الى مسارها الطبيعي.

القيم الشاذة المُجدددة (Innovation Outliers): وهي القيم التي تؤثر في المشاهدة التي تقع عندها وكذلك المشاهدات التي تليها او هي القيم الشاذة التي ينتشر تأثيرها في المشاهدات التي تليها.

1-2 الكشف عن القيم الشاذة: (The Outliers Detection)

يتم استعمال قاعدة (three sigma) للكشف عن القيم الشاذة والتي قدمت من قبل الباحث (Friedrick Pukelsheim) في عام 1992 ومن بعده من قبل الباحث (Patrick D.Spagon) في عام 1997. اذ ان قاعدة (3σ) او طريقة الدرجة المعيارية عبارة عن اداة تستعمل على نطاق واسع في الابحاث لغرض الكشف عن القيم الشاذة وان هذا المصطلح يعد مصطلح عام لبعض اختبارات الفرضيات الاحصائية التي تختبر الباقي. وان الشرط الذي بموجبه تم اثبات هذه القاعدة احصائياً تم تحليلها والتحقق في مدى تطبيقها على المربعات الصغرى والتأكد من كفاءتها. وان قاعدة (3σ) تفترض تقدير المشاهدة او القيمة الشاذة اذا كان الاحتمال للقيمة المشاهدة خارج المدى $[\mu-3\sigma, \mu+3\sigma]$ وتحسب من الصيغة الآتية:[VI][I:pp.52]

$$Z_i = \frac{x_i - \bar{x}}{s} \quad \dots (2)$$



اذ ان

x_i : قيمة المشاهدة.

\bar{x} : متوسط السلسلة او متوسط المشاهدات.

s : الانحراف المعياري.

فإذا كانت $|Z_i| > 3$ تعد المشاهدة x_i مشاهدة شاذة (outlier).

3- طرائق التقدير:

1-3 طريقة المربيعات الصغرى الاعتيادية (ols):

(Ordinary Least Squares Method)

ان الغرض من المربيعات الصغرى الاعتيادية (OLS) هو تقليل مربعي الخطأ كما في المعادلة الآتية:

[III:pp.220]

$$e^T e = (y - \Phi\theta)^T (y - \Phi\theta) = y^T y - 2y^T \Phi\theta + \theta^T \Phi^T \Phi\theta$$

و عند اخذ المشتقة الاولى بالنسبة الى المعلمة θ ومن ثم مساواة المشتقة الى الصفر ينتج الاتي:

$$\frac{\partial e^T e}{\partial \theta} = -2\Phi^T y + 2\Phi^T \Phi\hat{\theta} = 0$$

$$2\Phi^T y = 2\Phi^T \Phi\hat{\theta}$$

وبأخذ المعكوس الى المصفوفة $(\Phi^T \Phi)$ يتم الحصول على مقدر المربيعات الصغرى الاعتيادية (OLS) والذي يعطى بالمعادلة الآتية:

$$\hat{\theta} = (\Phi^T \Phi)^{-1} \Phi^T y \quad \dots (3)$$

3-2 طريقة المتغيرات المساعدة ذات الخطوات الاربعة (4SIV): (Four-Step Instrumental Variables Method)

ن طريقة (4SIV) هي الامتداد الى طريقة المتغيرات المساعدة (IV) والتطویر لها لتعطی مقدرات للمعلمات بتباين مقارب (Asymptotic Variance) اقل من التباين المقارب لطريقة المتغيرات المساعدة (IV) ومساوي الى حدود Cramer-Rao. ويمكن الوصول الى مقدرات طريقة (4SIV) من خلال تطبيق خوارزمية تتكون من الخطوات الاربعة الآتية: [II:pp.487]

1: Step: يتم تقدیر θ بأسعمال طريقة المربيعات الصغرى (LS) ويرمز للتقدیر ب $\hat{\theta}$.
و دالة التحويل المقابلة للتقدیر ب (q) .

2: Step: تولید المساعدات كما يأتي:

$$x_t^{(1)} = \hat{G}^{(1)}(q)u_t \quad \dots (4)$$

$$\zeta_t^{(1)} = [-x_{t-1}^{(1)} \dots -x_{t-n_a}^{(1)} u_{t-n_k} \dots u_{t-n_k-n_b+1}]^T$$



ثم يتم ايجاد تقدير $\hat{\theta}^{(2)}$ بطريقة المتغيرات المساعدة (IV) واستعمال المساعدات $\zeta_t^{(1)}$ ويرمز للتقدير بـ $\hat{G}^{(2)}(q)$ و تكون بالصيغة الآتية:

$$\hat{G}^{(2)}(q) = \frac{\hat{B}^{(2)}(q)}{\hat{A}^{(2)}(q)}$$

ليكن: Step 3

$$\hat{W}_t^{(2)} = \hat{A}^{(2)}(q)y_t - \hat{B}^{(2)}(q)u_t$$

ويفترض انحدار ذاتي AR ذات رتبة $(n_a + n_b)$ ويكون كما يأتي:

$$L(q)\hat{W}_t^{(2)} = e_t$$

و يتم تقدير $L(q)$ باستعمال طريقة المربعات الصغرى (LS) ويرمز للناتج بـ $\hat{L}(q)$.

ليكن: Step 4 يتم تعريف $x_t^{(2)}$ بشكل مماثل الى $x_t^{(1)}$ و

$$\zeta_t^{(2)} = \hat{L}(q)[-x_{t-1}^{(2)} \dots - x_{t-n_a}^{(2)} u_{t-n_k} \dots u_{t-n_k-n_b+1}]^T$$

وباستعمال المساعدات $\zeta_t^{(2)}$ يتم الوصول الى المقدرات النهائية للمعلمات والتي تكون بالصيغة الآتية :

$$\hat{\theta} = \left[\sum_{t=1}^n \zeta_t^{(2)} \varphi_t^T(F) \right]^{-1} \sum_{t=1}^n \zeta_t^{(2)} y_t(F) \quad \dots (5)$$

حيث ان

$$\varphi_t(F) = \hat{L}(q)\varphi_t \quad \text{و} \quad y_t(F) = \hat{L}(q)y_t$$

3-3 طريقة المربعات الصغرى الموزونة ذات المرحلتين (2SWLS)

(Two-Stage Weighted Least Squares Method)

تستعمل طريقة المربعات الصغرى الموزونة ذات المرحلتين لتقدير معلمات الأنماذج حيث يتم في المرحلة الأولى إنشاء مصفوفة الوزن الأولية وتمييز القيم الشاذة باستعمال المربعات الصغرى المعدلة الوزن تكرارياً .(The bisquare (Iteratively reweighted least squares) مع دالة ترجيح (IRWLS) bisquare weighting function)



اما في المرحلة الثانية سيتم اعادة وزن مصفوفة الوزن الاولية وذلك باستعمال قيم مختلفة من عامل التغاضي الاسي (The Exponential Forgetting Factor)، والذي يكون فيه قيمة λ عدد موجب واقل من الواحد ($1 < \lambda < 0$) علماً ان القيم المثلية او النموذجية لـ λ هي ($\lambda = 0.95, 0.99, \dots$) وان عامل التغاضي الاسي يعطي اهمية نسبية للبيانات الحالية عن البيانات السابقة وهذا يدل على انه في حالة زيادة n يتم التغاضي عن البيانات السابقة [XII:pp.52]. يتم حساب مجموع مربعات الاخطاء باستعمال معاملات الانحدار تلك مع القيم المختلفة من عامل التغاضي الاسي (The Exponential Forgetting Factor). والمعاملات المثلثى مع مجموع مربعات الاخطاء الصغرى تستعمل للتنبؤ. وتتضمن المرحلة الثانية هذه تقيير معامل له القدرة على التكيف.

وبشكل عام، أنموذج الانحدار لعدد من الحالات n يمكن ان يكون مكتوب بشكل مصفوفات كما يأتي

$$y = \Phi\theta + e$$

حيث ان

$$\mathbf{y} = [y_1, y_2, \dots, y_n]^T \text{ و } (n \times 1)$$

Φ يمثل مصفوفة المدخل او المتغير المستقل ($n \times (n_a + n_b)$). ويمكن ان يكون Φ مكتوب ايضاً كما $[n_a + n_b] \times 1$ ، حيث $\varphi_1, \varphi_2, \dots, \varphi_n$ تمثل متجهات بالبعد ($n_a + n_b$) لكل حالة.

θ يمثل متجه معاملات الانحدار ($(n_a + n_b) \times 1$).

e يمثل متجه الاخطاء ($n \times 1$) مع الانحراف المعياري σ .

ان طريقة المربعات الصغرى التقليدية تقلل مجموع مربعات الاخطاء وتأخذ الصيغة الآتية:

$$\hat{\theta} = (\Phi^T \Phi)^{-1} \Phi^T y$$

وإذا تم اضافة وزن لكل مربع خطأ، فإن انحدار المربعات الصغرى التقليدية يصبح انحدار المربعات الصغرى الموزونة وكما في المعادلين الآتية :

$$\min z = \sum_{t=1}^n W_{tt} e_t^2 = \sum_{t=1}^n W_{tt} (y_t - \varphi_t^T \theta)^2$$

$$\hat{\theta} = (\Phi^T W \Phi)^{-1} \Phi^T W y \quad \dots (6)$$

حيث ان $W = diag(W_{11}, W_{22}, \dots, W_{nn})$

اذا اشرنا الى $w = (\sqrt{W_{11}}, \sqrt{W_{22}}, \dots, \sqrt{W_{nn}})^T$ و $y' = wy$ ، سيكون لدينا شكل جديد للمربعات الصغرى مع مدخل موزون Φ' و مخرج موزون y' .

$$y' = \Phi' \theta' + e' \quad \dots (7)$$



**مقارنة بين الطرائق الاعتيادية [LS,4SIV] والطرائق الحديثة
[لتقييم معلمات أنموذج ARX(1,1,1) للأعمال الكهربائية SWLS,LTS,RA]**

$$\min z' = \sum_{t=1}^n e_t'^2 = \sum_{t=1}^n (y_t' - \varphi_t^{T'} \theta')^2 \quad \dots (8)$$

$$\hat{\theta}' = (\Phi'^T \Phi')^{-1} \Phi'^T y' \quad \dots (9)$$

في المرحلة الأولى من اجراء المربعات الصغرى الموزونة ذات المرحلتين، يتم حساب مصفوفة الوزن الاولية من خلال IRWLS حيث يركز نهج IRWLS للانحدار الحصين على تقليل مجموع مربعات اخطاء التقديرات عن طريق استعمال دالة الوزن التي تقلل من تأثير نقاط البيانات البعيدة (الشاذة). وسوف نستخدم هنا دالة كدالة وزن. حيث ان دالة الوزن Tukey تم اقتراحها من قبل bisquare عام 1974 كالاتي :

$$W_{tt}(r_t) = \begin{cases} (1 - l_t^2)^2 & |l_t| \leq 1 \\ 0 & \text{otherwise} \end{cases} \quad \dots (10)$$

حيث ان

$$l_t = \frac{(y_t - \hat{y}_t)}{c s \sqrt{1 - h_t}}$$

وان

h_t يمثل الرافعة (Leverage) والتي تكون عبارة عن العناصر القطرية لمصفوفة $\Phi(\Phi^T \Phi)^{-1} \Phi^T$ [XIII:pp.225] ، $c=4.685$ تمثل ثابت الضبط اختيرت على اساس كفاءة 95% من الانحدار الحصين الى طريقة المربعات الصغرى ،

$$\text{و } S = \frac{MAD}{0.6745} \quad \text{حيث } MAD = median|e_i - median(e_i)|$$

يبدا اجراء الحل مع التقديرات الاولية ل θ و e . في كل تكرار يتم تطبيق اجراء المربعات الصغرى الموزونة وتقديرات θ و e ويتم تحديد r_t . ويستمر الاجراء حتى التقارب. حيث يكون معيار التقارب كالاتي :

$$\frac{(\sqrt{W}\theta)^T (\sqrt{W}\sigma r)}{\|\sqrt{W}\theta\|_2 \|\sqrt{W}\sigma r\|_2} \quad \dots (11)$$

حيث ان $\|\cdot\|$ هو مبدأ Euclidean

في المرحلة الثانية، يتم استعمال مصفوفة الوزن الجديدة $[W''] = diag[W''] = diag[\lambda^{n-t}]$ في المربعات الصغرى الموزونة مرة اخرى للمشكلة الجديدة التي وصفت من خلال المعادلات (7) و(8) و(9). لذلك، تعرف مشكلة المربعات الصغرى الجديدة على النحو الاتي :

$$y'' = \Phi'' \theta'' + e'' \quad \dots (12)$$



**مقارنة بين الطرائق الاعتيادية [LS,4SIV] والطرائق الحصينة
لتقدير معلمات أنموذج ARX(1,1,1) للأعمال الكهربائية [2SWLS,LTS,RA]**

$$\min z'' = \sum_{t=1}^n e_t''^2 = \sum_{t=1}^n (y_t'' - \varphi_t'' \theta'')^2 \quad \dots (13)$$

$$\hat{\theta}'' = (\Phi''^T \Phi'')^{-1} \Phi''^T y'' \quad \dots (14)$$

حيث ان $\Phi' = w' \Phi''$ و $y' = w' y''$

ومن ثم، يتم تقدير معاملات الانحدار النهائية من خلال المربعات الصغرى الموزونة ذات المرحلتين.

3-4 مقترن توظيف طريقة المربعات الصغرى المشذبة في أنموذج ARX (LTS)

(proposal of Using Least Trimmed Squares Method in ARX)

طور Rousseeuw عام (1984) طريقة تقدير المربعات المشذبة الصغرى (LTS) وهي احدي طرائق تدبير الانحدار الحصين، حيث ان المقدر الناتج من هذه الطريقة يدعى بمقدار المربعات الصغرى المشذبة والذي يأخذ الرمز (LTS)، وهذه الطريقة تعطى من خلال الصيغة الآتية: [VIII:pp.413]

$$\hat{\theta}_{LTS} = \arg \min Q_{LTS}(\theta) \quad \dots (15)$$

حيث ان

$$Q_{LTS} = \sum_{i=1}^m e_i^2 \quad \dots (16)$$

$e_1^2 \leq e_2^2 \leq \dots \leq e_m^2$ تمثل مربعات البوافي المرتبة من الاصغر الى الاكبر. يتم حساب LTS عن طريق تقليل مربعات البوافي المرتبة m ،

حيث ان

$$m = \left[\frac{n}{2} \right] + \left[\frac{(h+1)}{2} \right]$$

n تمثل حجم العينة.

h تمثل عدد المعلمات.

في هذه الطريقة يتم استبعاد مربعات البوافي الاكبر من عملية الجمع، والتي تسمح الى ان تكون نقاط البيانات المتطرفة تلك مستبعدة تماماً عن مقاييس المقارنة للتقدير. اعتماداً على قيمة m وترتيب البيانات المتطرفة (الشاذة) وفي الواقع، ان طريقة LTS يمكن ان تكون كفوعة جداً، اذا شذبت الارقام المضبوطة لنقاط البيانات المتطرفة، وهذه الطريقة مكافحة حسابياً الى طريقة OLS. كذلك اذا كانت نقاط البيانات الشاذة التي يتم تشذيبها كثيرة، فإن هذه الطريقة تكون غير كفوعة. على العكس من ذلك، اذا كان التشذيب اكبر من نقاط البيانات المتطرفة (الشاذة)، يتم استبعاد بعض البيانات الجيدة من الحساب.



3-5 مقدرات التباينات الذاتية للبواقي (RA)

(Residual Auto-covariances Estimators)

تم اقتراح مقدرات RA من قبل العالمان Bustos و Yohai في عام (1986) لنماذج ARMA. واظهروا انه من الممكن ان تظهر مقدرات المربعات الصغرى (LS) بشكل يمكن ان يتضمن على عينة التباينات الذاتية الاعتيادية للبواقي. ثم اقترحوا مقدرات RA كحل للنظام حيث يتم استبدال التباينات الذاتية الاعتيادية هذه بأخرى حصينة.

ومن الممكن صياغة خوارزمية عامة لحل مقدرات RA فبالنسبة للدالة η_M من نوع Mallows وضع مخطط تكراري مبسط للمربعات الصغرى. ويمكن تعديل نفس الخوارزمية العامة لمقدرات RA لـ ARX حيث يكون التركيز على تعديل الخوارزمية التكرارية للدالة η_M من نوع Mallows والتي تأخذ الصيغة التالية:

$$\eta_M(U, V) = \psi(U)\psi(V) \quad \text{Mallows}$$

ومثال على الدالة ψ هي دالة bisquare والتي تكون بالشكل الآتي:

$$\psi_B(U; \vartheta) = \begin{cases} U(1 - \frac{U^2}{\vartheta^2})^2 & \text{if } 0 \leq |U| \leq \vartheta \\ 0 & \text{elsewhere} \end{cases}$$

حيث ان $\vartheta = 4.685$

ليكن

$$r_t^* = \psi\left(\frac{r_t(\hat{\theta})}{\hat{\sigma}_e}\right)\hat{\sigma}_e$$

$$y_t^* = \frac{\hat{B}(q)}{\hat{A}(q)}u_t + \frac{1}{\hat{A}(q)}r_t^*$$

ذلك وان

$$\hat{\sigma}_e = \frac{med(|r_{n_a+1}|, \dots, |r_n|)}{0.6745}$$

$$r_t(\hat{\theta}) = \hat{A}(q)y_t - \hat{B}(q)u_t$$

$$A = [a_1, \dots, a_{n_a}]^T$$

$$B = [b_1, \dots, b_{n_b}]^T$$

$$\theta = [A^T, B^T]^T$$

بافتراض ان السلسلة الزمنية المشاهدة للفترة هي y_t^* مع المتغير الخارجي u_t .



**مقارنة بين الطرائق الاعتيادية [LS,4SIV] والطرائق الحديثة
[ARX(1,1,1)لتقدير معلمات أنموذج 2SWLS,LTS,RA]**

وان الخوارزمية الحسابية التكرارية التالية تستعمل لحساب مقدرات (RA) وهي كما يأتي:
Step 1: لتكن $\hat{\theta}^{(0)}$ و $\hat{\sigma}_e^{(n)}$ مقدرات اولية، ويمكن ان تكون هذه المقدرات على سبيل المثال مقدرات LS المعتادة.

Step 2: يتم حساب $\hat{\theta}^{(n)}$ و $\hat{\sigma}_e^{(n)}$ مقابلة للتكرار n كذلك حساب

$$r_t^{*(n)} = \psi\left(\frac{r_t(\hat{\theta}^{(n)})}{\hat{\sigma}_e^{(n)}}\right)\hat{\sigma}_e^{(n)}$$

واستعمالها في حساب الصيغة الآتية:

$$y_t^{*(n)} = \frac{\hat{B}^{(n)}(q)}{\hat{A}^{(n)}(q)} u_t + \frac{1}{\hat{A}^{(n)}(q)} r_t^{*(n)}$$

Step 3: ثم تحسب مقدرات LS للسلسلة $y_t^{*(n)}$ مع متغيرات خارجية u_t .

Step 4: يتم تكرار الخطوتين 2 و 3 حتى يتم التوصل الى التقارب.

4- مقاييس المقارنة

تم عملية المقارنة بين طرائق التقدير من خلال المقاييس الآتية:

4-1 الجذر التربيعي لمتوسط مربعات الخطأ (RMSE):

وهو عبارة عن الجذر التربيعي لمجموع مربعات الفرق بين القيمة الحقيقية والقيمة التنبؤية مقسوماً على حجم العينة والذي يتم حسابه وفق الصيغة الآتية:[X:pp.24]

$$RMSE = \sqrt{\frac{\sum_{t=1}^n (\hat{y}_t - y_t)^2}{n}} \quad \dots (17)$$

4-2 متوسط مطلق الخطأ النسبي (MAPE):
هو عبارة عن متوسط مطلق نسبة الاخطاء الى القيم الحقيقية ويكتب بالصيغة الآتية:

[V:PP.182][XI:pp.403]

$$MAPE = \frac{\sum_{t=1}^n \left| \frac{\hat{y}_t - y_t}{y_t} \right|}{n} \quad \dots (18)$$

4-3 نسبة الخطأ المتوقعة (EEP):
وهو المقياس الذي يعتمد على الجذر التربيعي لمتوسط مربعات الخطأ مقسوماً على اكبر قيمة حقيقة ويتم حسابه وفق الصيغة الآتية:[VII:pp.50]

$$EEP = \frac{RMSE}{Max_{t=1,2,\dots,n}\{y_t\}} \quad \dots (19)$$

حيث ان

y_t : تمثل القيم الحقيقة.

\hat{y}_t : تمثل القيم التقديرية.

n : تمثل عدد البيانات الحقيقة.

وان طريقة التقدير الأفضل هي التي تقابل اقل قيمة للمقاييس الثلاثة.



**مقارنة بين الطرائق الاعتيادية [LS,4SIV] والطرائق الحديثة
لتقييم معلمات أنموذج ARX(1,1,1) للأعمال الكهربائية [SWLS,LTS,RA]**

5- اختبار دقة الأنماذج:

سيتم التتحقق من مصداقية او دقة الأنماذج عن طريق اجراء اختبارين هما اختبار معنوية الارتباط الذاتي بين سلسلة الاخطاء e_t واختبار معنوية الارتباط الذاتي بين سلسلة الاخطاء e_t وسلسلة المدخل u_t كما يأتي:

[II:pp.509-514]

1-5 اختبار Whiteness

(Whiteness Test)

يتضمن اختبار Whiteness اختبار فرضية عدم والفرضية البديلة الآتية:

$$H_0: R_e = 0$$

$$H_0: R_e \neq 0$$

اذ ان

H_0 : يمثل فرضية عدم.

H_1 : يمثل الفرضية البديلة.

R_e : يمثل الارتباط الذاتي بين الاخطاء.

ويمكن تقدير R_e عند الارتداد T كالتالي:

$$\hat{R}_e(T) = \frac{1}{n} \sum_{t=1}^n e_t e_{t-T} \quad \dots (20)$$

وبالتالي فان احصاءة الاختبار ستكون بالصيغة الآتية:

$$\zeta = \frac{n}{(\hat{R}_e(0))^2} \sum_{T=1}^m (\hat{R}_e(T))^2 \quad \dots (21)$$

اذ تتم مقارنة قيمة $\chi^2(m)$ بدرجة حرية m ومستوى معنوية α مع قيمة ζ فاذا كان

$$\zeta \leq \chi^2(m)$$

ففي هذه الحالة ينبغي قبول الفرضية عدم والتي تنص على عدم وجود ارتباط ذاتي بين عناصر سلسلة الخطأ او يكون الارتباط غير معنوي اما اذا كان

$$\zeta > \chi^2(m)$$

فعندها ينبغي قبول الفرضية البديلة والتي تعني وجود ارتباط ذاتي بين عناصر سلسلة الخطأ.



5-2 اختبار الاستقلالية بين الاخطاء والمدخلات السابقة: (Independence Between Residuals And Past Inputs)

من أجل اختبار الاستقلالية بين الاخطاء والمدخل يتم وضع ووضع واختبار كل من فرضية عدم والفرضية البديلة والتي تكون بالشكل الآتي:

$$H_0: R_{eu} = 0$$

$$H_1: R_{eu} \neq 0$$

اذ ان

: يمثل فرضية عدم.

: يمثل الفرضية البديلة.

: يمثل الارتباط بين حد الخطأ والمدخل حيث يمكن تقديره عند الارتداد الزمني T كما يأتي:

$$\hat{R}_{eu}(T) = \frac{1}{n} \sum_{t=1}^n e_t u_{t-T} \quad \dots (22)$$

ففي حالة تحقق اختبار البياض اي عدم وجود ارتباط بين عناصر سلسلة الخطأ عندها يكون:

$$\sqrt{n} R_{eu}^2(T) \sim N(0, P)$$

حيث تعرف

$$P = \sum_{k=-\infty}^{\infty} R_e(k) R_u(k)$$

وان كل من $R_e(k)$ و $R_u(k)$ تكون بالشكل الآتي:

$$R_e(k) = E e_t e_{t-k}$$

$$R_u(k) = E u_t u_{t-k}$$

وفي حالة N_α يدل على التوزيع $N(0,1)$ عند المستوى α يمكننا بالتالي التتحقق من

$$|R_{eu}(T)| \leq \sqrt{\frac{P}{n}} N_\alpha \quad \dots (23)$$



مقارنة بين الطرائق الاعتيادية [LS,4SIV] والطرائق الحديثة لتقييم معلمات أنموذج ARX(1,1,1) للأعمال الكهربائية [2SWLS,LTS,RA]

فإذا تحققت المتراجحة اعلاه عندها ينبغي قبول الفرضية العدم والتي تنص على ان الارتباط بين الخطأ والمدخل ارتباط غير معنوي اما في حالة عدم تحقق المتراجحة عندها ينبغي قبول الفرضية البديلة والتي تبين بأن الارتباط بين الخطأ والمدخل ارتباطاً معنوياً.
ان الطريقة المناسبة لتنفيذ الاختبار هي رسم $\hat{R}_{su}(T)$ كدالة ل T وان حدود الثقة ستكون بشكل خطوط افقية، مثل هذا الرسم يعطي معلومات قيمة حول صحة هيكل الأنماذج.

6- التنبؤ: (Forecasting)

بعد ما تم تحديد معلمات أنماذج ARX عن طريق استعمال طرائق التقدير التي تم ذكرها سابقا يتم البدء بمناقشة كيف يمكن التنبؤ بالقيم المستقبلية لظاهرة معينة حيث تعد عملية التنبؤ من الاهداف المهمة في عملية بناء السلاسل الزمنية ودراسة السلوك المستقبلي للظاهرة. ويتم التنبؤ لأنماذج ARX بأخذ التوقع الشرطي لأنماذج ويكون كما يأتي: [II:pp.64-71]
لكي يتم التنبؤ بخطوة واحدة الى الامام ل y يكون باستعمال الصيغة الآتية:

$$H(q)\hat{y}_{t|t-1} = G(q)u_t + [H(q) - 1]y_t \quad \dots (24)$$

اذ ان

$$G(q) = \frac{B(q)}{A(q)} , \quad H(q) = \frac{1}{A(q)}$$

وان

$$A(q) = 1 + a_1q^{-1} + \dots + a_{n_a}q^{-n_a}$$

$$B(q) = b_1q^{-1} + \dots + b_{n_b}q^{-n_b+1}$$

البحث الثالث/ الجانب التطبيقي

1- المقدمة

من اجل تحقيق الهدف من البحث سوف يتم في هذا البحث تطبيق الخطوات التي تم توضيحها في المبحث الثاني باستعمال برامج تم كتابتها بلغة (Matlab) على بيانات حقيقة تمثل بمتغيرين، المتغير الاول (y_t) ويعبر عن سلسلة المخرجات ويتمثل بأحمال الذروة الكهربائية اليومية لمحافظة بغداد والمتغير الثاني (u_t) ويعبر عن سلسلة المدخلات ويتمثل بدرجات الحرارة العظمى لمحافظة بغداد، حيث كانت البيانات اليومية لفصل الصيف والذي يضم الاشهر (6-7-8) من السنوات (2013-2014-2015) اي بعد (368) مشاهدة يومية، وقد تم الحصول على البيانات من وزارة الكهرباء/دائرة توزيع الطاقة.

2- تفسير النتائج

2-1 اختبار استقرارية البيانات والكشف عن القيم الشاذة:

تم اختبار استقرارية البيانات من خلال تطبيق اختبار Dickey-Fuller الموسع- Augmented Dickey-Fuller (ADF) باستخدام برنامج gretl والجدول الآتية تبين نتائج الاختبار:



**مقارنة بين الطرائق الاعتيادية [LS,4SIV] والطرائق الحديثة
[تقدير معلمات أنموذج ARX(1,1,1) لـ 2SWLS,LTS,RA]**

جدول (3-1) يبين P-value لاختبار (ADF) لكل من سلسلة المخرجات y_t وسلسلة المدخلات u_t

مستوى المعنوية	سلسلة المتغير	Dickey-Fuller P-value		
		بدون الحد الثابت	بوجود الحد الثابت	بوجود الحد الثابت والاتجاه الزمني
0.05	y_t	0.7329	0.2867	0.1559
	u_t	0.8181	0.0048	0.008294

الجدول (3-1) يبين نتائج اختبار (ADF) لكل من سلسلة المخرجات y_t وسلسلة المدخلات u_t ، اذ تم استعمال الحالات الثلاثة للاختبار وهي حالة عدم وجود الحد الثابت وحالة وجود الحد الثابت وحالة وجود كل من الحد الثابت والاتجاه الزمني معاً، ومن خلال مقارنة القيم الاحتمالية (p) في الجدول اعلاه مع القيمة (0.05) نستنتج ان الاختبار غير معنوي اي ان السلاسلتين غير مستقرتين لذلك سيتم معالجة بيانات السلاسلتين من خلال اخذ اللوغاريتم وأخذ الفروق الاولى، والجدول الاتي يوضح نتائج اختبار (ADF) بعد معالجة البيانات:

جدول (3-2) يبين P-value لاختبار (ADF) لكل من سلسلة المخرجات y_t وسلسلة المدخلات u_t بعد اخذ الفروق الاولى (log)

مستوى المعنوية	سلسلة المتغير	Dickey-Fuller P-value		
		بدون الحد الثابت	بوجود الحد الثابت	بوجود الحد الثابت والاتجاه الزمني
0.05	$d-l-y_t$	4.043e-013	5.281e-012	2.509e-011
	$d-l-u_t$	4.937e-021	3.988e-021	3.51e-022

ومن خلال القيم في الجدول (3-2) اعلاه نستنتج ان السلاسلتين اصبحت مستقرة بعدما تمت معالجتها. ويتم تطبيق قاعدة (63) للكشف عن القيم الشاذة الموجودة في كل من سلسلة المدخلات وسلسلة المخرجات بعد اخذ اللوغاريتم والفروق الاولى للسلاسلتين لتحقيق شروط الاستقرارية، حيث تم تحديد القيم ذات التسلسل (18, 19, 294, 295, 318, 319, 332, 333) في سلسلة (y_t) والمتمثلة بالقيم (1425, 2120, 1425, 3500, 1877, 3550, 1825, 3450). (46,35,50)

2-2 تقدير معلمات الأنماذج:

تم تقدير معلمات الأنماذج باستعمال طرائق (OLS) و (4SIV) و (2SWLS) و (LTS) و (RA)، والجدول (3-3) ادناه يوضح نتائج المعلمات المقدرة لأنماذج حسب كل طريقة من طرائق التقدير وكما يأتي:



**مقارنة بين طرائق الاعتيادية [LS,4SIV] وطرائق الحصينة
لتقييم معلمات الموديل [ARX(1,1,1) لـ 2SWLS,LTS,RA]**

جدول (3-3) يبين قيم المعلمات المقدرة للأنموذج

طرائق التقدير	قيم المعلمات	
	a	B
OLS	-0.9933	0.1107
4SIV	-0.9993	0.2512
2SWLS	-0.9931	0.2898
LTS	-0.9999	-7.27e-06
RA	-0.9933	-0.1706

3-2 مقارنة طرائق التقدير:

يتم مقارنة طرائق التقدير عن طريق استعمال مقاييس المقارنة الموضحة في المبحث الثاني وهي (RMSE) و (MAPE) و (EEP).

جدول (3-4) يبين نتائج مقاييس المقارنة بين طرائق التقدير للأنموذج

طرائق التقدير	مقاييس المقارنة		
	RMSE	MAPE	EEP
OLS	0.0134	0.0067	0.0049
4SIV	0.0116	0.0047	0.0042
2SWLS	0.0183	0.0081	0.0067
LTS	3.33e-07	1.32e-07	1.21e-07
RA	0.1841	0.0619	0.0671

ومن خلال مقاييس المقارنة اعلاه والمتمثلة بمقاييس الجذر التربيعي لمتوسط مربعات الخطأ (RMSE) ومقاييس مطلق الخطأ النسبي (MAPE) ومقياس نسبة الخطأ المتوقعة (EEP) تبين لنا ان طريقة المربعات الصغرى المشدبة (LTS) هي افضل طريقة تقدير حيث جاءت في المرتبة الاولى اعتماداً على مقاييس المقارنة الثلاثة ومن ثم جاءت طريقة (4SIV) بالمرتبة الثانية ومن ثم طريقة (OLS) وتلتها طريقة (2SWLS) وجاءت طريقة (RA) في المرتبة الاخيرة.

وبذلك فإن الصيغة التقديرية للأنموذج وفق طريقة (LTS) تكون بالشكل الآتي:

$$y_t = (0.9999)(7.27e^{-6})u_{t-1} + e_t$$

3-3 اختبار مصداقية الأنماذج:

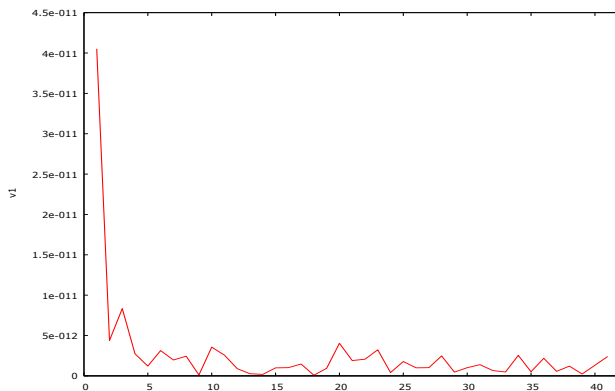
يتم اختبار مصداقية الأنماذج عن طريق التحقق من الفرض الاساسي الذي تم افتراضه والذي ينص على ان حد الخطأ يتوزع توزيعاً طبيعياً بوسط صفر وتبين ثابت وهذا يعني انه تشویش أبيض، حيث يتم التتحقق من هذا الفرض عن طريق اجراء الاختبارين التاليين:

* يتم في الاختبار الاول حساب قيم البوافي (e_t) واختبار معنوية الارتباط بين قيم البوافي، حيث كانت القيمة المحسوبة هي (5.18) يتم مقارنتها مع القيمة الجدولية لـ χ^2 بدرجة حرية (40) ومستوى معنوية (0.05) والتي هي (26.51)، وبما ان القيمة المحسوبة اقل من القيمة الجدولية فيتم قبول الفرضية العدم والتي تنص على عدم وجود ارتباط بين عناصر سلسلة الخطأ.



مقارنة بين الطرائق الاعتيادية [LS,4SIV] والطرائق الحديثة لتقييم معلمات أنموذج ARX(1,1,1) للأعمال الكهربائية [2SWLS,LTS,RA]

* اما في الاختبار الثاني فيتم فيه اختبار الارتباط بين الخطأ والمدخل وذلك من خلال حساب المعادلة (23) والشكل التالي يوضح نتيجة الاختبار حيث ان حدود الثقة هي (0.0000018) و (-0.0000018).

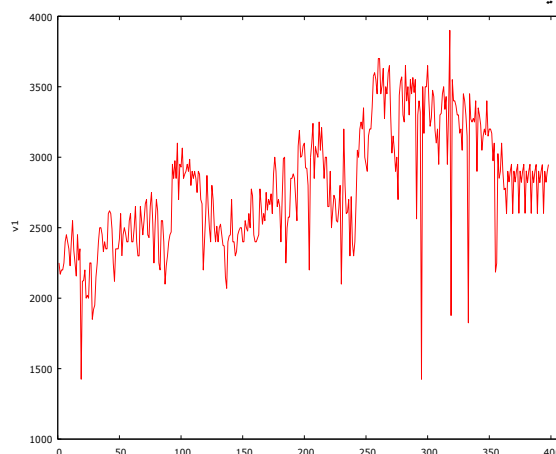


شكل (3-1) يبين قيم الارتباط بين حد الخطأ (e_t) والمدخل (u_t)

وبما ان جميع قيم الارتباط بين الخطأ والمدخل ضمن حدود الثقة فيتم قبول الفرضية العدم اي ان الارتباط يكون غير معنوي. وبما ان النتائج اعلاه التي تم التوصل اليها بالنسبة لطريقة (LTS) والتي تتضمن عدم وجود ارتباط معنوي بين قيم الاحطاء مع بعضها البعض من جهة وحد الخطأ والمدخل من جهة اخرى، وهذا يؤكد صحة افتراض بياض الخطأ (white noise).

3-4 التنبؤ:

وبعد ان تم انهاء عملية بناء الانموذج والتحقق من مصدقته، حيث تبين انه يحقق جميع الشروط الواجب توفرها لذلك يمكن استعماله في عملية التنبؤ لثلاثين قيمة مستقبلية بالنسبة للمتغير y_t ، حيث تم الحصول على ثلاثين قيمة مستقبلية بالنسبة للمتغير u_t واستعمالها لغرض التنبؤ وباستعمال طريقة التقدير (LTS) وكما في الشكل التالي:



شكل (3-2) يوضح البيانات الحقيقية والبيانات التي تم التنبؤ بها للمتغير (y_t)



المبحث الرابع / الاستنتاجات والتوصيات

ومن خلال نتائج البحث التي تم الحصول عليها تم التوصل الى عدد من الاستنتاجات والتوصيات التي يعتقد انها جديرة بالاهتمام.

4-1 الاستنتاجات:

- 1- تم اجراء اختبار استقرارية السلسل الزمنية للمتغيرات التي تناولها البحث باستعمال احد اختبارات جذر الوحدة وهو اختبار (ADF)، وتم التوصل الى استقرارية سلسلة المتغيرات بعدما تمت معالجة البيانات من خلال اخذ اللوغاريتم والفرق الاولى.
- 2- تفوقت طريقة (LTS) والتي جاءت في المرتبة الاولى على الطرائق (4SIV) و (OLS) الاعتيادية والتي جاءت في المرتبة الثانية والثالثة على التوالي وجاءت الطرائق (2SWLS) و (RA) الحصينة في المراتب الاخيرة من خلال استعمال مقاييس المقارنة والتي تتمثل ب (RMSE,MAPE,EPE) وفقاً للبيانات المدروسة والتي تحتوي قيماً شديدة.
- 3- تم اختبار جودة أنموذج (ARX) باستعمال طريقة (LTS) الحصينة لتقدير المعلمات حيث بينت النتائج عدم وجود ارتباط ذاتي بين عناصر الخطأ وكذلك عدم وجود ارتباط بين الخطأ والمدخل.
- 4- ان اعلى حمل كهربائي يمكن توقعه باستعمال أنموذج (ARX) خلال 30 يوم هو (2949) واقل قيمة حمل يمكن توقعها هي (2601).

4-2 التوصيات:

- 1- نوصي بالمقارنة بين طرائق التقدير الاعتيادية وطرائق التقدير الحصينة لأنموذج ARX باستعمال اسلوب المحاكاة.
- 2- نوصي بدراسة أنموذج ARX متعدد المدخلات ومخرج واحد (MISO) وأنموذج ARX متعدد المدخلات ومتعدد المخرجات (MIMO) عند وجود مشكلة تلوث البيانات.
- 3- نوصي بمقارنة أنموذج ARX مع بقية نماذج الصندوق الاسود في حالة وجود مشكلة التلوث في البيانات.
- 4- نوصي وزارة الكهرباء بالأخذ بنظر الاعتبار أن ما سيتم توقعه بأعلى معدل للاستهلاك قدره (2949) ميكواط واقل معدل استهلاك قدره (2601) ميكواط ضمن المدة التي تم التنبيه بها (شهر حزيران من عام 2017).

المصادر العربية والاجنبية:

- I- غنبر، جنان عبد الله (2016) "مقارنة بعض المقدرات البيزية الحصينة مع مقدرات اخرى لأنموذج GARCH(1.1) مع تطبيق عملي" اطروحة مقدمة إلى مجلس كلية الادارة والاقتصاد / جامعة بغداد للحصول على درجة "دكتوراه فلسفة في علوم الإحصاء".
- II- Ljung, L. (1999) "System Identification : Theory FOR THE User" 2nd Edition, Prentice Hall PTR, Upper Saddle River, NJ.
- III- Silva, A. J., Neto, J. V. F., & Nagem, N. F. (2009) "Parametric ARX Modeling of the Electrolytic Smelter Pot" IEEE, pp. 217-222.
- IV- BOX, G. E. P., JENKINS, G. M. & REINSEL, G. C. (2008) "Time Series Analysis: Forecasting and Control" 4th Edition, John Wiley & Sons, Inc.
- V- Wei, W. W. S. (2006) "Time Series Analysis: Univariate and Multivariate Methods" 2nd Edition, Pearson Education, Inc.
- VI- Lehman, R. (2013) "The 3 σ -Rule for Outlier Detection from the Viewpoint of Geodetic Adjustment" Journal of Surveying Engineering, Vol. 139, (4), pp.157-165.
- VII- Guo, Y., Nazarian, E., Ko, J., & Rajurkar, K. (2014) "Hourly cooling load forecasting using time-indexed ARX models with two-stage weighted least squares regression" Energy Conversion and Management, Vol. 80, pp. 46-53.



- VIII- Alma, Ö. G. (2011) "Comparison of Robust Regression Methods in Linear Regression" Int. J. Contemp. Math. Sciences, Vol. 6, No. 9, pp.409-421.
- IX- Duchesne, P. (2001) "ROBUST AND POWERFUL SERIAL CORRELATION ESTS WITH NEW ROBUST ESTIMATES IN ARX MODELS" JOURNAL OF TIME SERIES ANALYSIS, Vol. 26, No. 1, PP.49-81.
- X- Awaludin, I., Ibrahim, R., & Rao, K. S. R. (2009) "Conventional ARX and Artificial Neural Networks ARX Models for Prediction of Oil Consumption in Malaysia" IEEE, Symposium on Industrial Electronics and Applications, pp.23-28.
- XI- Othman, M. F. B., & Yusoff, M. K. B. M. (2009) "System Identification to Forecast Electricity Loads" IEEE, SCOReD, PP.403-406.
- XII- Mahmoud, M. S., & Xia, Y. (2012) "Applied Control Systems Design" New York, Springer.
- XIII- Rousseeuw, P. J. & Leroy, A. M. (1987) "Robust Regression Outlier Detection" John Wiley & Sons, Inc.



Comparison Between Ordinary Methods (LS,IV) and Robust Methods (2SWLS,LTS,RA) to estimate the Parameters of ARX(1,1,1) Model for Electric Loads

Abstract:

The models of time series often suffer from the problem of the existence of outliers that accompany the data collection process for many reasons, their existence may have a significant impact on the estimation of the parameters of the studied model. Access to highly efficient estimators is one of the most important stages of statistical analysis, And it is therefore important to choose the appropriate methods to obtain good estimators. The aim of this research is to compare the ordinary estimators and the robust estimators of the estimation of the parameters of the Autoregressive with exogenous variable (ARX) model with the order of (1,1,1) using real data containing outliers, the order (1,1,1) has been used based on a number of criteria for determining the rank, which were explained in the thesis under construction. The study showed that the method employed The Least Trimmed Squares (LTS) method is the best method of estimation. The comparison was done using the Root Mean Square Error (RMSE), Mean Absolute Percentage Error (MAPE) and Expected Error Percentag (EEP), A test was also carried out to ascertain the accuracy of the model reached and then used to predict future values.

Key Words: (ARX); The Outliers Detection; Ordinary Least Squares Method; Four-Step Instrumental Variables Method; Two-Stage Weighted Least Squares Method; Least Trimmed Squares Method; Residual Auto-covariances Estimators.